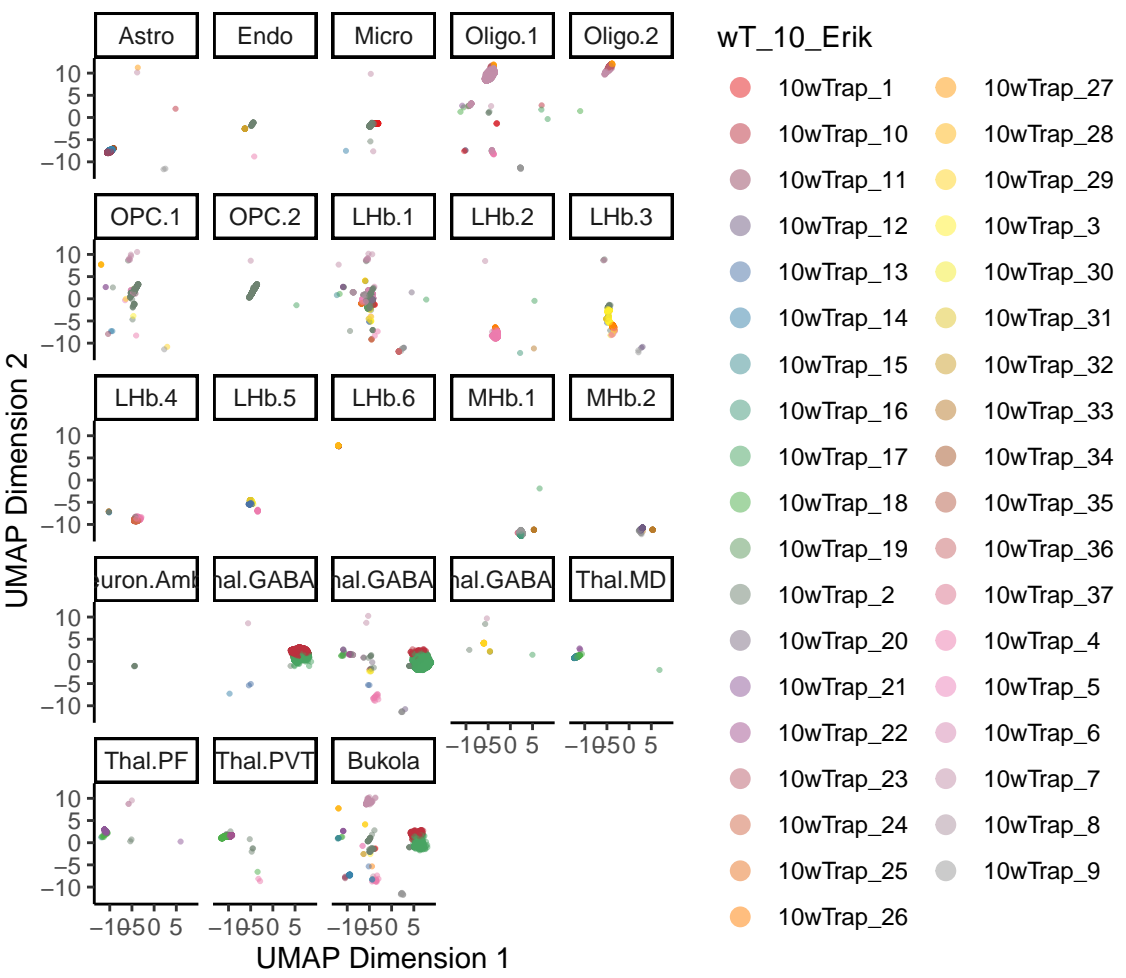
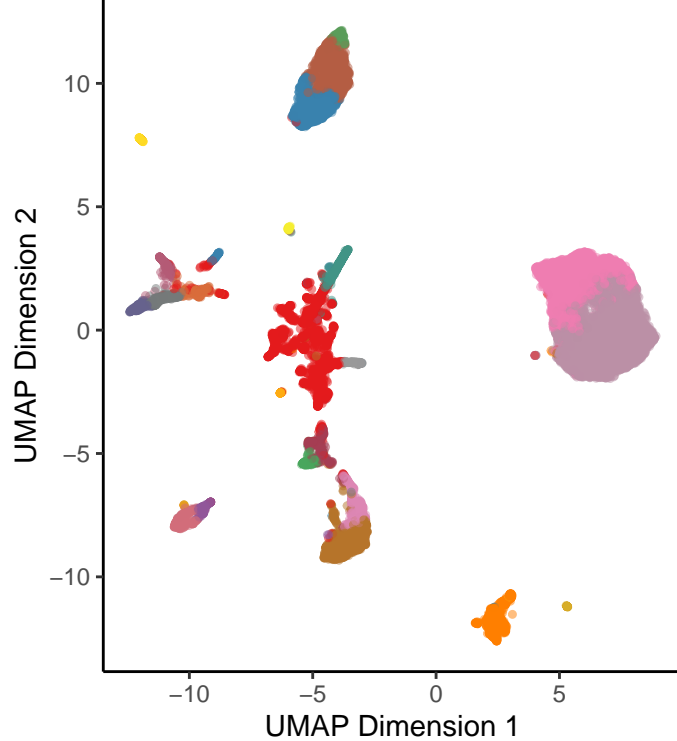


wT_10_Erik

- 10wTrap_1
- 10wTrap_10
- 10wTrap_11
- 10wTrap_12
- 10wTrap_13
- 10wTrap_14
- 10wTrap_15
- 10wTrap_16
- 10wTrap_17
- 10wTrap_18
- 10wTrap_19
- 10wTrap_2
- 10wTrap_20
- 10wTrap_21
- 10wTrap_22
- 10wTrap_23
- 10wTrap_24
- 10wTrap_25
- 10wTrap_26
- 10wTrap_27
- 10wTrap_28
- 10wTrap_29
- 10wTrap_3
- 10wTrap_30
- 10wTrap_31
- 10wTrap_32
- 10wTrap_33
- 10wTrap_34
- 10wTrap_35
- 10wTrap_36
- 10wTrap_37
- 10wTrap_4
- 10wTrap_5
- 10wTrap_6
- 10wTrap_7
- 10wTrap_8
- 10wTrap_9



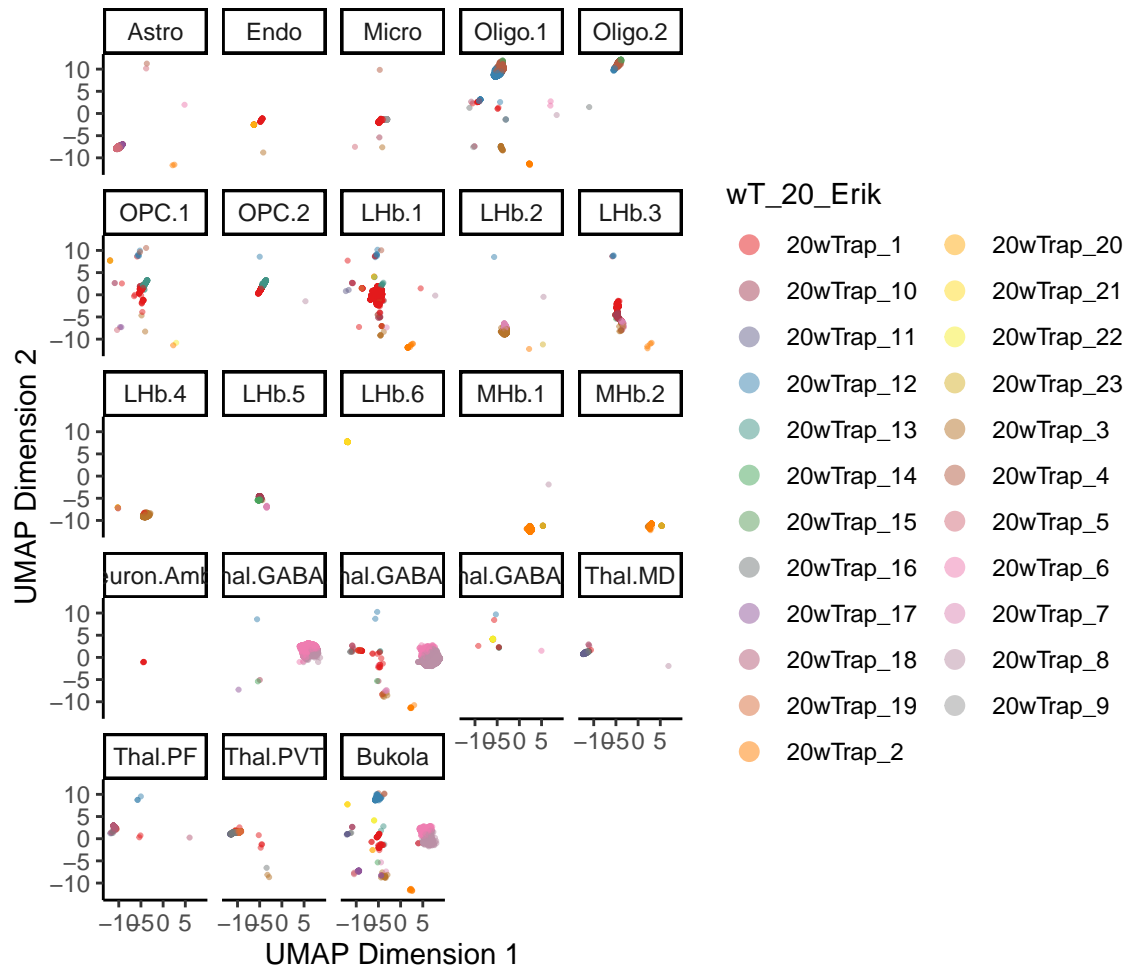
Total Number of Groups = 23



wT_20_Erik

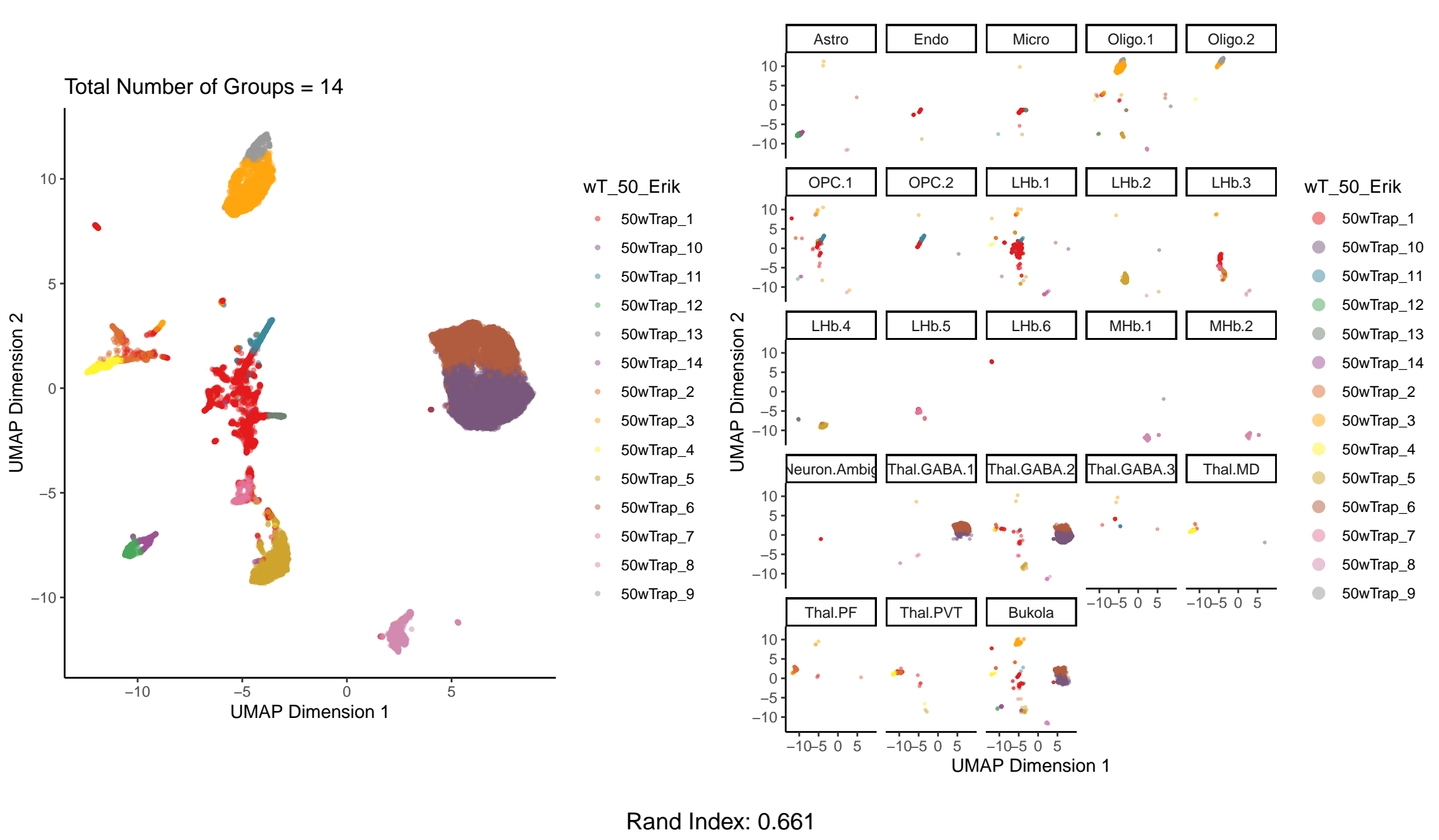
- 20wTrap_1
- 20wTrap_10
- 20wTrap_11
- 20wTrap_12
- 20wTrap_13
- 20wTrap_14
- 20wTrap_15
- 20wTrap_16
- 20wTrap_17
- 20wTrap_18
- 20wTrap_19
- 20wTrap_2
- 20wTrap_20
- 20wTrap_21
- 20wTrap_22
- 20wTrap_23
- 20wTrap_3
- 20wTrap_4
- 20wTrap_5
- 20wTrap_6
- 20wTrap_7
- 20wTrap_8
- 20wTrap_9

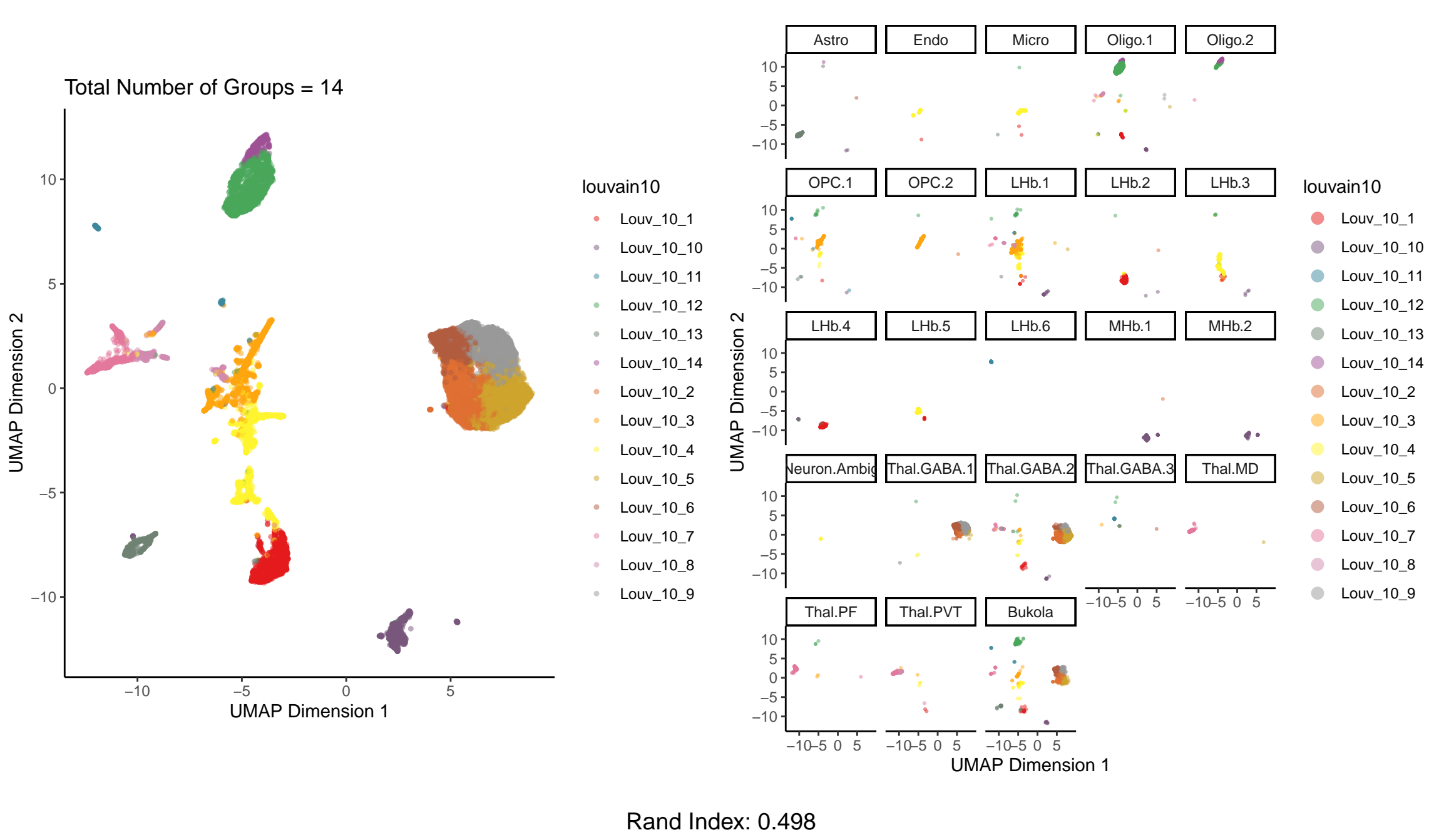
Rand Index: 0.632

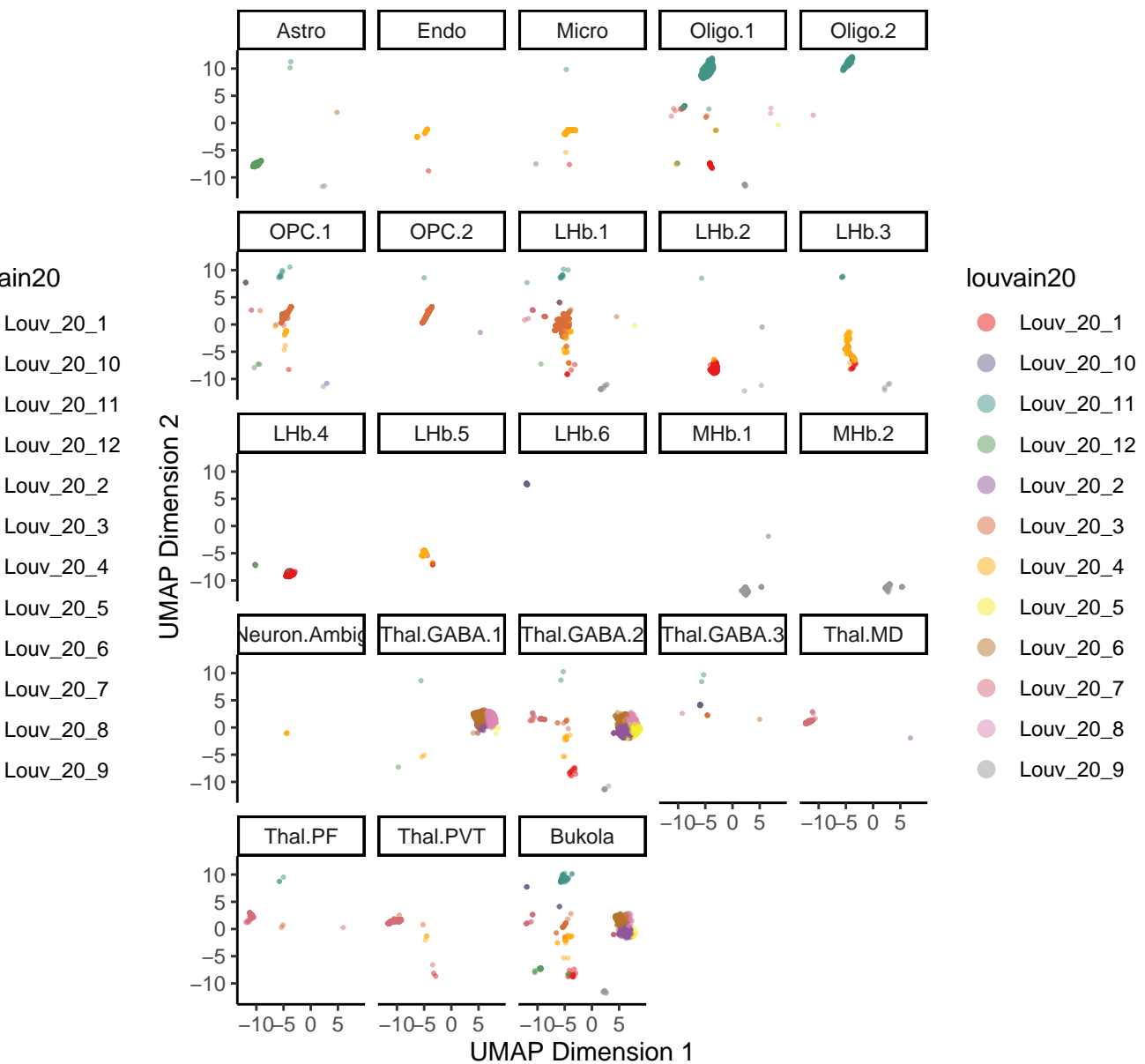
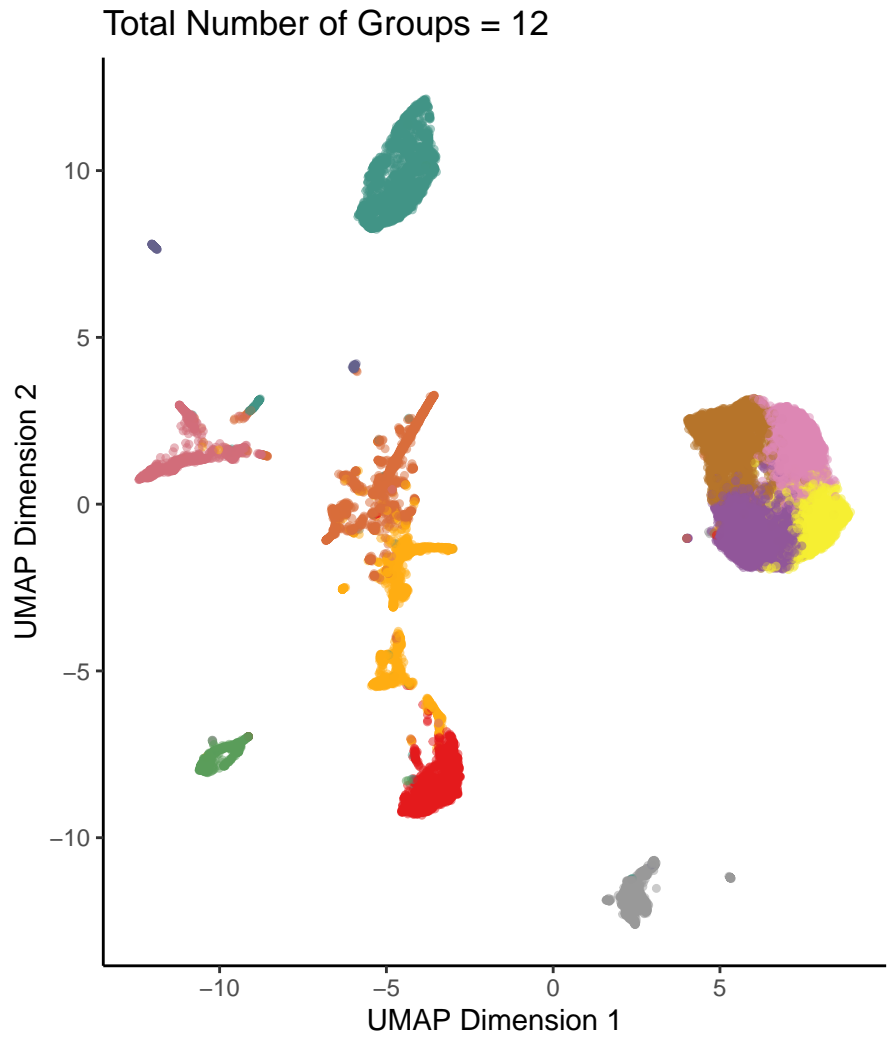


wT_20_Erik

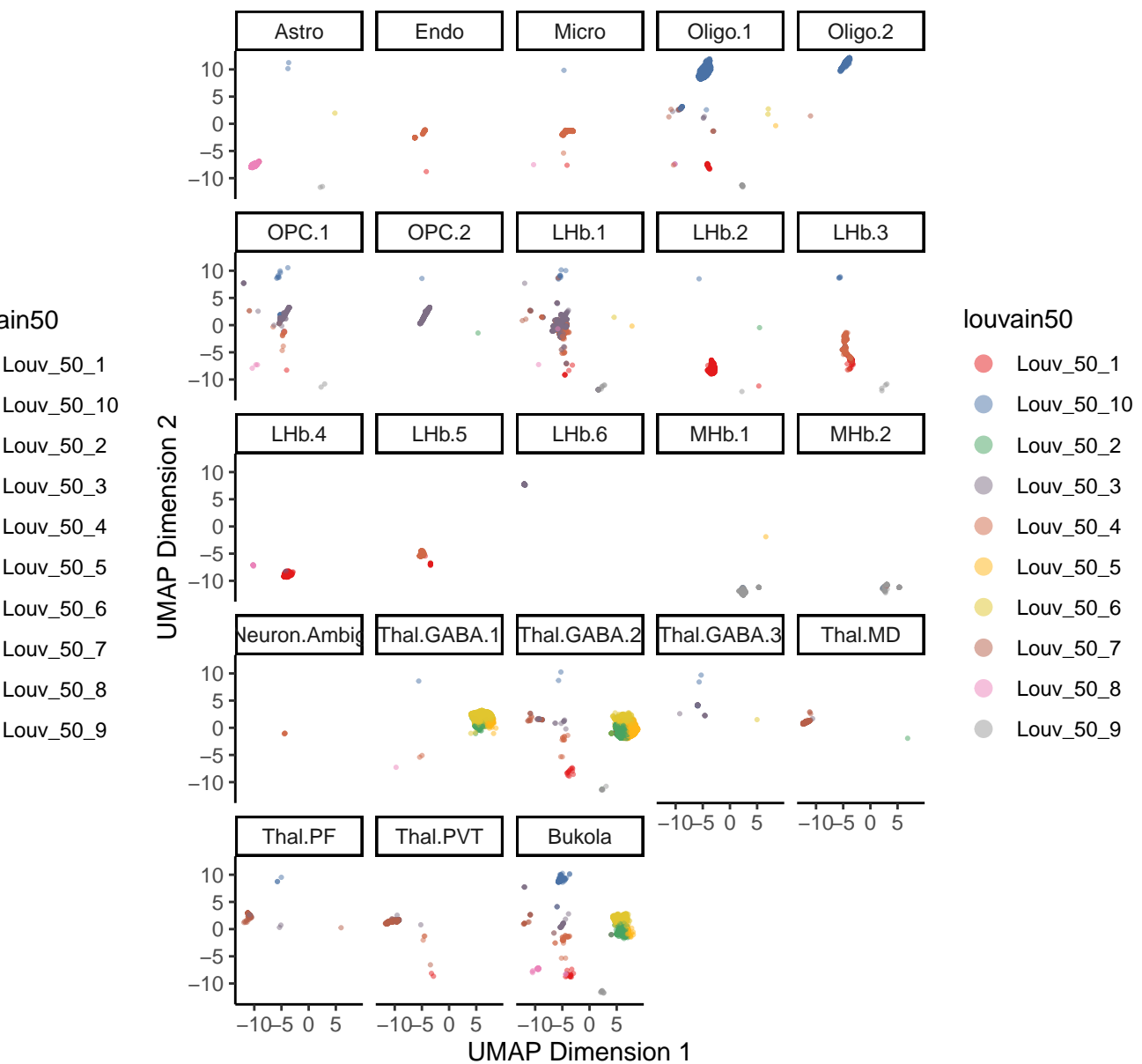
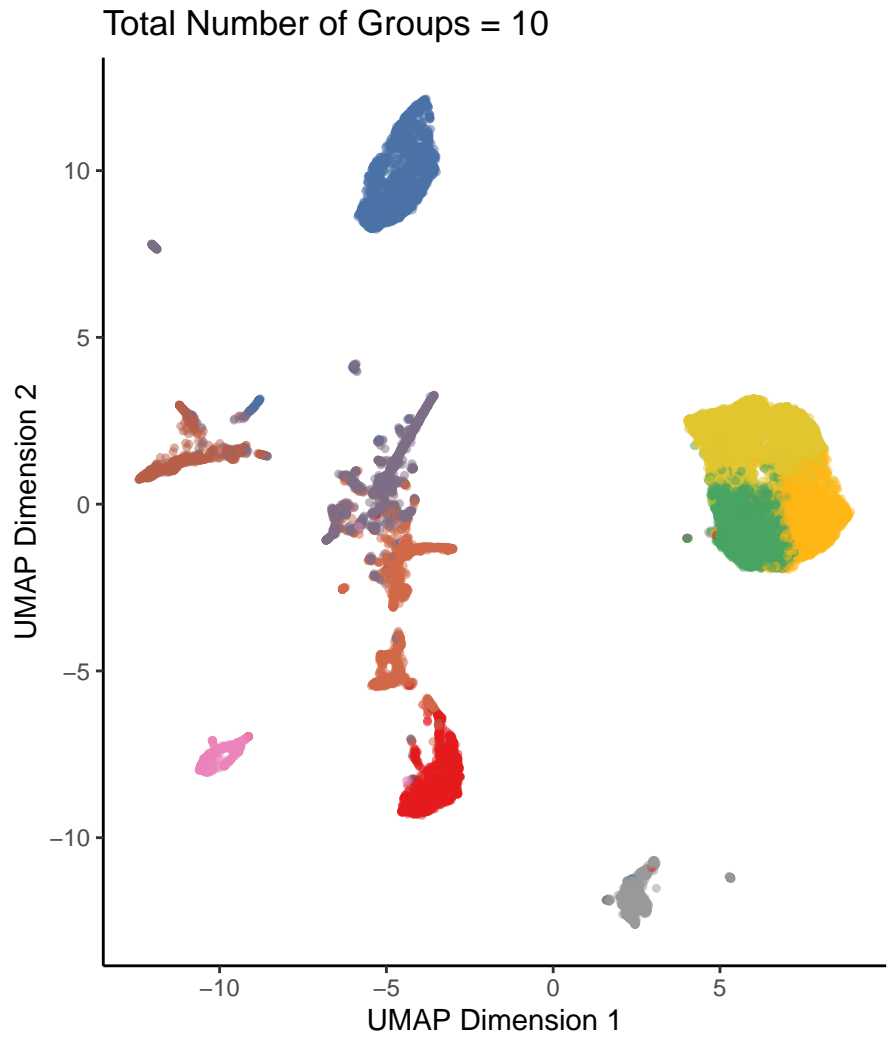
- 20wTrap_1
- 20wTrap_10
- 20wTrap_11
- 20wTrap_12
- 20wTrap_13
- 20wTrap_14
- 20wTrap_15
- 20wTrap_16
- 20wTrap_17
- 20wTrap_18
- 20wTrap_19
- 20wTrap_2
- 20wTrap_20
- 20wTrap_21
- 20wTrap_22
- 20wTrap_23
- 20wTrap_3
- 20wTrap_4
- 20wTrap_5
- 20wTrap_6
- 20wTrap_7
- 20wTrap_8
- 20wTrap_9







Rand Index: 0.477



Rand Index: 0.528